

МАТЕМАТИЧЕСКОЕ МОДЕЛИРОВАНИЕ ПРОЦЕССА ЗАГЛУБЛЕНИЯ ПЕРЕМЕШАННОГО СЛОЯ В СТРАТИФИЦИРОВАННОЙ ЖИДКОСТИ

УДК 532.517.4

В. И. Квон, Д. В. Квон

Институт водных и экологических проблем СО РАН, 630090 Новосибирск

Предлагаются математическая формулировка и численное решение двумерной задачи о заглублении турбулентного перемешанного слоя в линейно стратифицированной среде под действием напряжения трения. При моделировании турбулентности используется $(\epsilon - \epsilon)$ -модель, содержащая уравнения для энергии турбулентности и скорости ее диссипации. Проведено численное исследование поведения решения задачи при различных значениях параметра при силе плавучести в уравнении для скорости диссипации энергии турбулентности. Получено хорошее соответствие результатов расчета толщины перемешанного слоя с данными лабораторного эксперимента Като и Филлипса [1].

В теплые сезоны глубокие водоемы обычно стратифицированы. Верхние слои воды в них подвергаются перемешиванию, обусловленному процессами, порождаемыми турбулентностью и конвекцией. Процессы турбулентного перемешивания в поверхностных слоях глубоких водоемов играют важную роль в формировании их термической структуры, в возникновении термоклина. Термоклин является слоем, препятствующим переносу кислорода и питательных веществ в водоемах. Тем самым он оказывает значительное влияние на функционирование водных экосистем. В [1] экспериментально изучается один из основных механизмов, порождающих верхний перемешанный слой, а именно генерация турбулентности за счет касательного напряжения, приложенного к водной поверхности, и развитие турбулентного движения в устойчиво стратифицированной жидкости. В [2-4] выполнено математическое моделирование процессов турбулентного перемешивания в условиях лабораторного эксперимента [1] в предположении об однородности гидродинамических параметров по длине лотка. В [5] сделана попытка снять ограничение об однородности этих параметров по длине лотка, однако только для замкнутого лотка с условием непротекания на его торцевых сечениях.

В данной работе предлагается задача, более точно отражающая течение в круговом лотке. На торцевых сечениях ставится условие свободного протекания на выходной границе и условие того, что течение на входной границе является непрерывным продолжением течения на выходе из рассматриваемой области определения решения задачи. Процессы вертикального турбулентного перемешивания описываются на основе полной $(\epsilon - \epsilon)$ -модели, а коэффициенты горизонтального турбулентного обмена определяются по формуле Ричардсона. Кроме того, эта постановка задачи учитывает напряжение трения боковых стенок, возможность влияния которых на толщину перемешанного слоя указывается в [6].

Постановка задачи. Течение воды в условиях лабораторного эксперимента, приведенного в [1], происходит в узком длинном лотке. Поэтому к нему применим подход, при котором возможно осреднение исходных уравнений движения и переноса соли по ширине лотка в радиальном направлении [7]. Тогда уравнения импульса, сохранения массы и уравнение для плотности соленой воды имеют вид [7, 8]

$$\frac{\partial bu_1}{\partial t} + \frac{\partial bu_1 u_1}{\partial x_1} + \frac{\partial bu_1 u_2}{\partial x_2} = -gb \frac{\partial}{\partial x_1} \left(z + \frac{1}{\rho_0} \int_{x_2}^z \rho dx \right) + \frac{\partial}{\partial x_1} b K_h \frac{\partial u_1}{\partial x_1} + \frac{\partial}{\partial x_2} b K_v \frac{\partial u_1}{\partial x_2} - 2r|u_1|u_1; \quad (1)$$

$$\frac{\partial bu_1}{\partial x_1} + \frac{\partial bu_2}{\partial x_2} = 0; \quad (2)$$

$$\frac{\partial b\rho}{\partial t} + \frac{\partial bu_1\rho}{\partial x_1} + \frac{\partial bu_2\rho}{\partial x_2} = \frac{\partial}{\partial x_1} bK_{hs} \frac{\partial \rho}{\partial x_1} + \frac{\partial}{\partial x_2} bK_{vs} \frac{\partial \rho}{\partial x_2}, \quad (3)$$

где t — время; x_1 и x_2 — оси декартовой системы координат (ось x_2 направлена вертикально вверх); u_1 и u_2 — компоненты скорости по x_1 и x_2 соответственно; ρ — плотность водного раствора соли; b — ширина лотка; g — ускорение силы тяжести; z — отметка уровня водной поверхности; K_h и K_v (K_{hs} и K_{vs}) — коэффициенты суммарной (турбулентной и молекулярной) вязкости (диффузии соли) соответственно в горизонтальном h и вертикальном v направлениях; r — коэффициент сопротивления трения боковых стенок.

Заметим, что уравнение для плотности (3) вытекает из диффузионного уравнения переноса соли в предположении о линейной зависимости между плотностью раствора и концентрацией соли. Кроме того, коэффициенты турбулентного переноса тепла и соли принимаются одинаковыми.

Коэффициенты вертикального турбулентного обмена определяются с привлечением уравнений для энергии турбулентности e и скорости ее диссипации ε [9, 10]:

$$\frac{\partial be}{\partial t} + \frac{\partial bu_1 e}{\partial x_1} + \frac{\partial bu_2 e}{\partial x_2} = \frac{\partial}{\partial x_1} bK_{he} \frac{\partial e}{\partial x_1} + \frac{\partial}{\partial x_2} bK_{ve} \frac{\partial e}{\partial x_2} + b(P - G) - be; \quad (4)$$

$$\frac{\partial b\varepsilon}{\partial t} + \frac{\partial bu_1 \varepsilon}{\partial x_1} + \frac{\partial bu_2 \varepsilon}{\partial x_2} = \frac{\partial}{\partial x_1} bK_{he} \frac{\partial \varepsilon}{\partial x_1} + \frac{\partial}{\partial x_2} bK_{ve} \frac{\partial \varepsilon}{\partial x_2} + c_{1e} \frac{\varepsilon}{e} b(P - (1 - c_{3e})G) - c_{2e} b \frac{\varepsilon^2}{e}. \quad (5)$$

Здесь K_{he} (K_{he}) и K_{ve} (K_{ve}) — коэффициенты суммарной диффузии энергии турбулентности (скорости ее диссипации) в горизонтальном h и вертикальном v направлениях; $P = K(\partial u_1 / \partial x_2)^2$; $G = -g(\alpha_s / \rho_0)K(\partial \rho / \partial z)$; коэффициенты турбулентного обмена определяются по формулам [9, 10] $K = c_\mu e^2 / \varepsilon$, $K_h = \nu + K$, $K_v = \nu_s + \alpha_s K$, $K_{vs} = \nu + \alpha_e K$, $K_{ve} = \nu + \alpha_e$; ν и ν_s — молекулярные вязкость и коэффициент диффузии соли; $c_\mu = 0,09$; $\alpha_s = 0,8$; $\alpha_e = 1,0$; $\alpha_e = 0,77$; значения остальных констант приняты стандартными: $c_{1e} = 1,44$, $c_{2e} = 2,0[1,0 - 0,3 \exp(-Re_T^2)]$, $Re_T = e^2 / (\nu \varepsilon)$, $c_{3e} = 0,8$. Суммарные коэффициенты горизонтального обмена K_h , K_{hs} , K_{he} , K_{ve} принимаются постоянными. Их численные значения приводятся ниже.

Для системы уравнений (1)–(5) принимаются следующие краевые условия:

— на торцевых сечениях ($x = x_L$ — левое сечение, где вода втекает в рассматриваемую область, x_R — правое сечение, где вода вытекает из нее)

$$\varphi(t, x_L, x_2) = \varphi(t, x_R, x_2) \quad (\varphi = (u_1, \rho, e, \varepsilon)); \quad (6)$$

$$\partial \varphi / \partial x_1 = 0 \quad \text{при} \quad x_1 = x_R; \quad (7)$$

— на водной поверхности при $x_2 = z$

$$K_v \frac{\partial u_1}{\partial x_2} = \frac{\tau_w}{\rho}, \quad \frac{\partial \rho}{\partial x_2} = 0, \quad \frac{\partial e}{\partial x_2} = 0, \quad \varepsilon = c_\varepsilon \frac{e^{3/2}}{y^0}; \quad (8)$$

— на дне при $x_2 = 0$

$$K_v \frac{\partial u_1}{\partial x_2} = k_b |u_1| u_1, \quad \frac{\partial \rho}{\partial x_2} = 0, \quad u_2 = 0, \quad \frac{\partial e}{\partial x_2} = 0, \quad \varepsilon = c_\varepsilon \frac{e^{3/2}}{y_0}. \quad (9)$$

Здесь y^0 и y_0 — шероховатости водной поверхности и дна соответственно; $k_b = 0,14$; $c_\varepsilon = 0,314$ [11].

Следует отметить, что в рассматриваемом физическом эксперименте на водной поверхности было приложено постоянное касательное напряжение τ_w путем перемещения

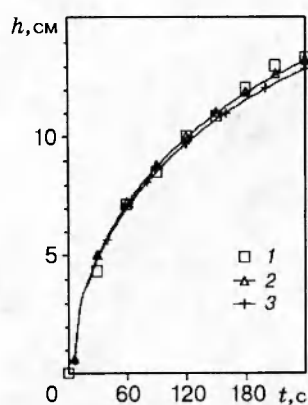


Рис. 1

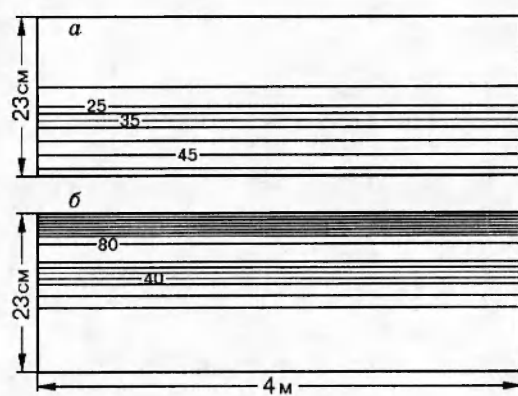


Рис. 2

крышки кольцевого лотка. Поэтому в постановке задачи полагается постоянной отметки водной поверхности. Поскольку течение воды исследуется в кольцевом лотке [1], то в схеме течения левое и правое торцевые сечения отвечают одному и тому же произвольно выбранному вертикальному поперечному сечению лотка. Условие (7) означает свободное протекание жидкости на выходном торцевом сечении, а (6) — непрерывное продолжение течения на входном торцевом сечении.

Помимо краевых условий (6)–(9) для системы (1)–(5) необходимо задать начальные условия, соответствующие состоянию покоя.

Результаты численных расчетов. Численное решение поставленной задачи строится на разнесенной C -сетке Аракавы [12]. При этом скалярные величины ρ , e , ε определяются в центральных точках разностной сетки, а компоненты скорости — на гранях элементов этой сетки. Способ аппроксимации источниковых слагаемых в уравнениях (4) и (5) с его тестированием на простом примере течения приведен в [11]. Горизонтальная компонента скорости вычисляется с использованием метода расщепления [13]. На первом дробном шаге в центральных точках производится расчет изменений горизонтального импульса за счет адvection и диффузии без учета сил давления, на втором дробном шаге происходит адаптация полей скорости к распределению давления на гранях элементов разностной сетки. Напомним, что распределение давления принимается гидростатическим, поэтому оно определяется распределением плотности (при постоянном уровне). Далее, члены горизонтальной адvection и горизонтальной диффузии, а также вертикальные коэффициенты вычисляются явно (с известного слоя по времени). Используется метод прогонки по вертикальному направлению.

Напомним, что лабораторные эксперименты проведены при постоянном касательном напряжении у водной поверхности прямо под крышкой лотка. В начальный момент времени соленая вода находилась в покое и имела линейное распределение плотности по всей глубине. Для моделирования выполнен расчет при градиенте плотности $\partial \rho / \partial x_2 = 1,92 \cdot 10^{-3}$ г/см⁴ и напряжении трения на крышке лотка $\tau_w = 0,995$ дин/см², при глубине воды $h = 0,23$ м и длине лотка 4 м. Значения суммарных коэффициентов горизонтального обмена K_h , K_{hs} , K_{he} и $K_{h\epsilon}$ полагались равными между собой и вычислялись по формуле Ричардсона $K_h = cl^{4/3}$, где значение l принято равным шагу сетки в горизонтальном направлении (параметризация подсеточной турбулентности), числовой коэффициент $c = 0,01$ см^{2/3}/с [14], $K_h = 5,6 \cdot 10^{-5}$ м²/с, шаг по времени 0,5 с, число точек разностной сетки по глубине лотка 40, по длине 20, $r = 1,32 \cdot 10^{-3}$. Уменьшение шага по времени в 2 раза практически не повлияло на результаты расчетов.

На рис. 1 приведены данные измерений [1] (точки 1) и результаты расчетов изменений толщины перемещенного слоя в середине лотка при $c_{3\epsilon} = 0,8$ [10] и 1,0 [15] (кривые 2 и 3) в уравнении для диссиpации энергии турбулентности. При $c_{3\epsilon} = 0,8$ и 1,0 кривые хорошо

соответствуют экспериментальным данным и мало между собой отличаются, но более предпочтительный результат дает расчет при $c_{3\epsilon} = 0,8$.

На рис. 2 показаны распределения разности плотности (*a*) $\rho - \rho_0$ (ρ , кг/м³, $\rho_0 = 1000$ кг/м³) и отношения коэффициентов турбулентной и молекулярной вязкости (*б*) в вертикальной плоскости в момент времени $t = 240$ с при $c_{3\epsilon} = 0,8$. Все изолинии приведены с равными интервалами. Поведение изолиний плотности и коэффициента турбулентной вязкости по длине лотка показывает практическую их однородность по длине.

Авторы выражают свою признательность О. Ф. Васильеву и О. Б. Бочарову за полезные обсуждения.

Работа выполнена при финансовой поддержке Международного научного фонда (грант RM1000).

ЛИТЕРАТУРА

1. Kato H., Phillips O. M. On the penetration of a turbulent layer in stratified fluid // J. Fluid Mech. 1969. V. 37, pt 4. P. 643–655.
2. Квон В. И. Об отношении коэффициентов турбулентной температуропроводности и турбулентной вязкости // Изв. АН СССР. Физика атмосферы и океана. 1979. Т. 15, № 6. С. 672–675.
3. Зиновьев А. Т., Яковенко С. Н. Моделирование вертикального турбулентного обмена в стратифицированном водоеме // Математические проблемы экологии. Новосибирск: ИМ СО РАН, 1994. С. 37–42.
4. Левеллен В. Методы инвариантного моделирования // Турбулентность. Принципы и применение. М.: Мир, 1980. С. 269–310.
5. Васильев О. Ф., Квон В. И., Квон Д. В. Математическое моделирование индуцированных ветром течений в стратифицированном водоеме // Математические проблемы экологии. Новосибирск: ИМ СО РАН, 1994. С. 27–36.
6. Price James F. On the scaling of stressdriven entrainment experiments // J. Fluid Mech. 1979. V. 90, N 3. P. 509–529.
7. Vasiliiev O. F., Kvon V. I., Chernyshova R. T. Mathematical modeling of the thermal pollution of a water body // Proc. of the 15 Congress of IAHR. Istanbul, 1973. V. 2.
8. Васильев О. Ф., Квон В. И., Чернышева Р. Т. Температурно-стратифицированное течение в водоеме вытянутой формы // Гидротехническое строительство. 1974. № 4. С. 35–38.
9. Jones W. P., Launder B. E. The calculation of low Reynolds-number phenomena with a two-equation model of turbulence // Int. J. Heat Mass. Transfer. 1973. V. 16, N 6. P. 1119–1130.
10. Роди В. Модели турбулентности окружающей среды. Методы расчета турбулентных течений. М.: Мир, 1984. С. 227–322.
11. Игнатова Г. Ш., Квон В. И. О гидродинамической схеме скольжения при турбулентном течении // Метеорология и гидрология. 1978. № 7. С. 50–54.
12. Backhaus J. O. A semi-implicit scheme for the shallow water equations for application to shelf sea modeling // Continental Shelf Research. 1983. V. 2, N 4. P. 243–254.
13. Марчук Г. И. Численное решение задач динамики атмосферы и океана. Л.: Гидрометеоиздат, 1974.
14. Озмидов Р. В. Горизонтальная турбулентность и горизонтальный обмен в океане. М.: Наука, 1968.
15. Viollet P. L. On the numerical modeling of stratified flows // Physical processes in estuaries. Berlin: Springer-Verlag, 1988. P. 257–277.

Поступила в редакцию 26/IV 1995 г.,
в окончательном варианте — 17/X 1995 г.